УДК 553.411:550.4 (571.54/.55)

© Б.Н.Абрамов, 2016

АНДРЮШКИНСКОЕ ЗОЛОТОРУДНОЕ МЕСТОРОЖДЕНИЕ: ГЕОХИМИЧЕСКИЕ ОСОБЕННОСТИ ПОРОД И РУД, ВОСТОЧНОЕ ЗАБАЙКАЛЬЕ

Б.Н.Абрамов

ФГБУН Институт природных ресурсов, экологии и криологии СО РАН, г. Чита

Основное золотое оруденение Андрюшкинского месторождения локализовано в скарнах в прожилково-вкрапленных зонах, залегающих в архейской метаморфической толще. Магматические очаги этих интрузий были в значительной степени дифференцированы (Eu/Eu* 0,11–0,14) и возникли на глубинах, соответствующих верхней континентальной коре (Eu/Sm 0,11–0,17). На золото продуктивна кварц-тетрадимит-висмутовая ассоциация. Среднее содержание Аи в рудах 7,9 г/т. Интрузии амуджикано-шахтаминского комплекса, эффузивы шадаронской серии и золотое оруденение образовались за счёт единого источника близкого к адакитовой магме.

Ключевые слова: амуджикано-шахтаминский комплекс, скарны, золото, адакиты.

Статья основана на фактических данных, полученных автором в ходе тематических исследований по программам Института природных ресурсов, экологии и криологии СО РАН, а также материалах территориальных геологических фондов (г. Чита). Химический состав пород определялся атомно-эмиссионной спектроскопией с индуктивно связанной плазмой (ISP-AES), рентген-флуоресцентным и атомно-абсорбционным методами, содержание петрогенных компонентов - стандартным методом силикатного анализа. Анализы выполнены в Лабораторно-исследовательском центре по изучению минерального сырья Комитета природных ресурсов по Читинской области (ОАО «ЛИЦИМС») и аналитическом центре Геологического института СО РАН (г. Улан-Удэ).

Андрюшкинское золоторудное месторождение расположено в Балейском рудном районе в 15 км южнее г. Балей. Разведанные запасы золота составляют ~8 т при среднем содержании в рудах 7,9 г/т. Структурная позиция его обу-

словлена приуроченностью к региональному Балейско-Дарасунскому разлому с серией субпараллельных разрывных нарушений по падям Умудиха и Андрюшкино. Площадь месторождения разбита разноориентированными тектоническими нарушениями на ряд блоков (рис. 1). В геологическом строении объекта участвуют позднеархейские метаморфизованные породы (AR_2), гранитоиды ундинского комплекса (C_3), вулканогенно-осадочные породы шадаронской серии (I_{2-3}), гранитоиды амуджикано-шахтаминского комплекса (I_{2-3}). Дайковые образования последнего представлены гранит-порфирами, диоритовыми порфиритами и лампрофирами.

Из архейских пород наиболее распространены амфиболиты, реже встречаются биотит-амфиболовые сланцы, кварциты, гнейсы, доломиты, диориты, граниты. Вулканогенно-осадочные породы шадаронской серии с угловым несогласием налегают на породы архейско-палеозойского фундамента. Базальный горизонт отложений шадаронской серии представлен валунно-галеч-

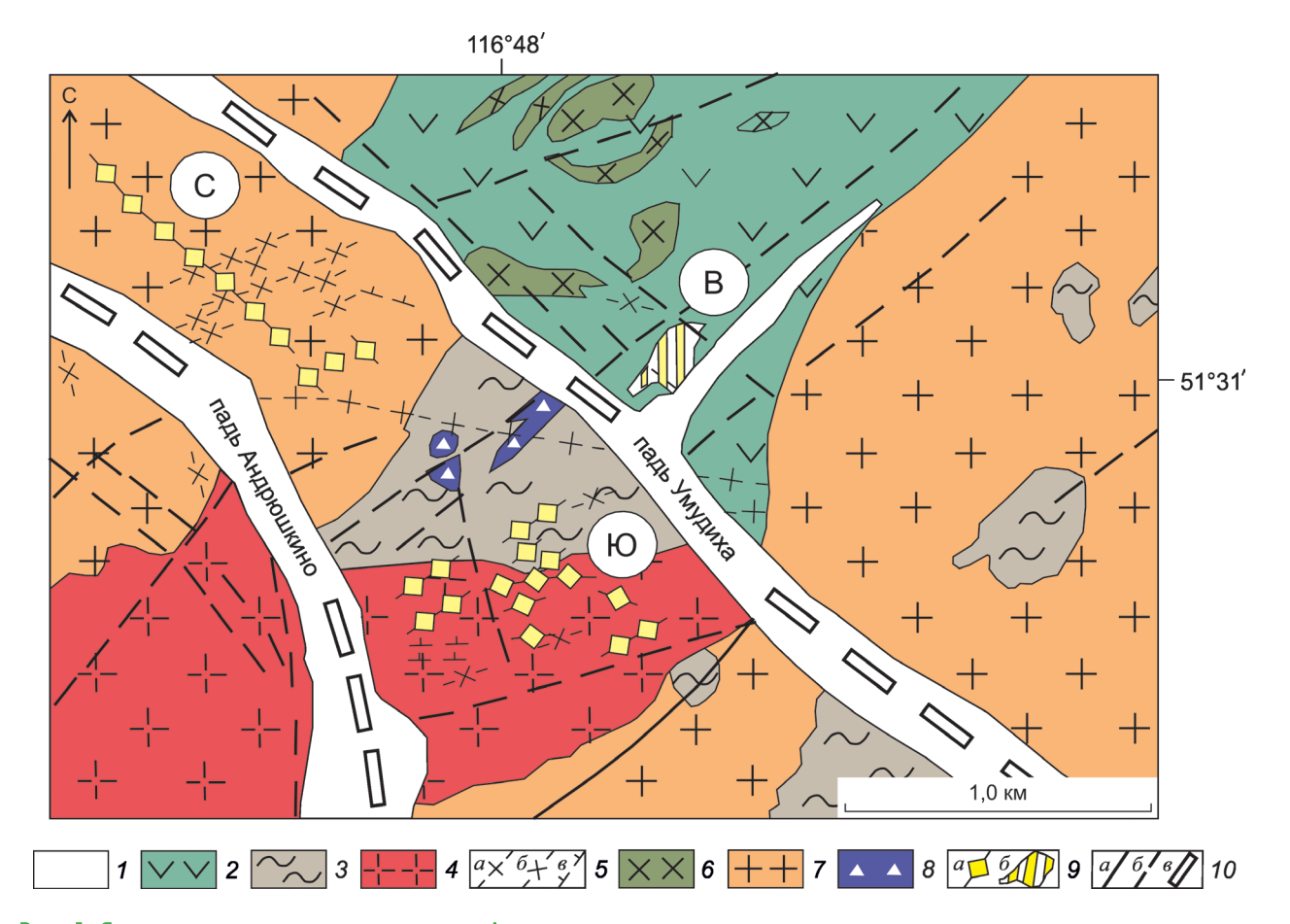


Рис. 1. Схема геологического строения Андрюшкинского золоторудного месторождения:

1 — четвертичные отложения; 2 — средне-верхнеюрские отложения шадаронской серии (андезиты, андезито-базальты, их туфы и лавы); 3 — архейские амфиболиты, мигматиты, сланцы; 4 — средне-позднеюрские гранитоиды шахтаминского комплекса; 5 — дайковый комплекс (a — гранит-порфиры, b — лампрофиры, b — диоритовые порфириты); b — юрские штоки, силлы диоритовых порфиритов; b — палеозойские гранитоиды ундинского комплекса; b — эксплозивные брекчии; b — рудная минерализация (b — рудоносные жилы, b — рудные зоны); b — тектонические нарушения (b — достоверные, b — предполагаемые, b — Балейско-Дарасунский разлом); рудные участки: b — Восточный, b — Северный, b — Южный

ным материалом пород фундамента (амфиболиты, мигматиты, диориты, граниты). Выше по разрезу горизонт лавобрекчий с линзами туфои осадочных брекчий сменяется горизонтами андезитов, андезито-базальтов.

В районе месторождения из интрузивных образований широко распространены гранитоиды ундинского комплекса. В его составе выделяют три фазы. Здесь же отмечаются породы второй фазы — роговообманково-биотитовые граниты, гранодиориты. В южной части месторождения развит шток амуджикано-шахтаминского комплекса, сложенный резкопорфировидными гранитами, лейкократовыми мелкозернистыми гранитами. Количество вкрапленников (представлены главным образом полевым шпатом) в порфировидных гранитах составляет 20–50%. Дайковые образования комплекса — диоритовые порфириты, гранит-порфиры, лампрофиры. Согласно данным уран-свинцовой датировки по циркону, абсолютный возраст гранитов амуджикано-шахтаминского комплекса 161,0±1,7 млн лет [8]. Установлено, что резкопорфировидные граниты Андрюшкинского месторождения соответствуют гранитам ильменитовой серии [1], которые кристаллизуются в условиях открытой системы вследствие разгерметизации магматической камеры [4].

1. Содержание редких и рудных элементов в породах и рудах
Андрюшкинского золоторудного месторождения, г/т

Элемен-	Номера проб													
ТЫ	443-3	443-4	444	444-1	444-4	444-6	445-1	490-1	490-2	490-7	503	503-1	503-2	503-3
Zn	110	10	45	50	77	23	-	100	45	26	200	140	220	170
As	300	260	-	40	56	12	47 000	20	1325	3450	7000	2500	6600	160
Pb	500	530	22	13	150	24	10 000	-	11	-	30	20	60	50
Rb	-	-	81	65	580	89	280	-	84	72	-	-	-	-
Sr	23	9	660	540	5	265	775	6	490	510	21	19	24	25
Zr	4	40	160	150	240	240	120	8	155	180	8	15	8	7
Nb	-	1	6	5	11	13	16	2	9	8	8	6	17	5
Sn	10	4	-	2	52	2	39	2,4	2,6	35	50	21	140	32
Sb	39	52	-	4	120	2	81	4,8	3,6	15	13	12,4	18	21
Cu	1500	170	-	-	-	-	-	140	-	97	1050	730	1340	630
Bi	-	1500	-	-	-	-	-	1770	-	-	400	300	5000	7100
Ва	5	62	680	610	225	460	1060	-	550	170	22	2	4	3
Au	0,20	49,70	0,70	0,50	0,14	0,23	1,50	29,24	1,30	0,38	13,93	12,97	49,69	81,07

Примечание. Эксплозивные брекчии: 443-3, 443-4, 444, 444-1, 444-6, 490-2, 490-7; сульфидно-кварцевые жилы: 445-1; скарны: 490-1, 503, 503-1, 503-2, 503-3. Анализ рудных и редких элементов выполнен РФА методом (аналитик Б.Ж.Жалсараев) в аналитическом центре Геологического института СО РАН (г. Улан-Удэ). Прочерк — нет данных. Содержание Аи определялось атомно-абсорбционным методом в аналитических лабораториях ОАО «ЛИЦИМС» (г. Чита).

С процессами формирования интрузий амуджикано-шахтаминского комплекса связано образование флюидно-эксплозивных брекчий (ФЭБ). Тела ФЭБ прослежены канавами и скважинами в центральной и северо-восточной частях месторождения. На поверхности площадь выхода наиболее крупного тела ФЭБ составляет в длину до 200 м при ширине до 60 м. Тела ФЭБ подсечены скважинами на глубинах 13-38, 210-210,5 м. Размер обломочного материала брекчий варьирует от 1-2 мм до 10 см. В составе обломков преобладают граниты, реже фиксируются амфиболиты, диориты. Цемент брекчий имеет кварц-полевошпатовый и кварц-турмалиновый составы. В северо-восточной части рудного поля тела ФЭБ подсечены скважинами под покровом вулканитов. Они состоят из обломков (3-5 см) гранитов, сцементированных тонкозернистым материалом тех же гранитов. В эксплозивных брекчиях встречаются участки с включениями и прожилками пирита, арсенопирита, реже халькопирита, характеризующиеся повышенными содержаниями Аи (до 49,7 г/т) (табл. 1). Корреляционный анализ показал тесную связь (r=0,57) золота с висмутом. Гипергенные минералы в рудоносных участках — скородит (по арсенопириту), ковеллин (по халькопириту). Следует отметить, что золотоносные эксплозивные брекчии характерны для многих мезозойских золоторудных месторождений Восточного Забайкалья [2].

В пределах месторождения выделяются Северный, Южный и Восточный участки, отличающиеся друг от друга характером рудной минерализации, преобладающей ориентировкой рудных жил. Основные запасы золота (>90%) сосредоточены в Восточном рудном участке.

Восточный участок. Сложен вулканогенноосадочными отложениями шадаронской серии мощностью до 120 м, которые несогласно залегают на архейских метаморфических породах — перемежающихся амфиболитах, мраморизованных известняках, роговиках, кварцитах, гнейсах, гранодиоритах, гранитах. Здесь широко развиты зоны метасоматитов (скарны). Среди них в виде полос мощностью 0,1–2,0 м присутствуют гранатовые, пироксен-гранатовые и пироксеновые разности. В составе скарнов наблюдаются гранат, пироксен, аксинит, эпидот, актинолит, кальцит, биотит. В скарнах развиты зоны вкрапленной и прожилковой минерализации. Рудные минералы — арсенопирит, пирротин, халькопирит, галенит, сфалерит, пирит. В рудных зонах выделяются следующие парагенетические минеральные ассоциации (от ранних к поздним): кварц-пирит-арсенопиритовая; кварц-тетрадимит-висмутовая (продуктивная); кварцево-карбонатная (с пиритом, галенитом).

Рудные тела образуют залежи вкрапленнометасоматических руд. Наибольшие концентрации золота сосредоточены в метасоматитах в непосредственном контакте с вулканитами или на небольшом удалении от них. Максимальное содержание Аи достигает 121 г/т, среднее — 7,9 г/т. Основная рудная зона в плане имеет пластообразную форму длиной 380 м, шириной 175 м. Рудные горизонты отмечаются на удалении 30—50 м, реже до 100 м от подошвы вулканитов.

По данным фондовых материалов в золотоносных скарнах, наряду с золотом, повышены концентрации Ві (0,1%) и Аѕ (0,25%). Содержание Аg составляет 2,7 г/т. Корреляционный анализ выявил тесную связь золота (r=0,93) с висмутом и теллуром. Золотоносные руды характеризуются повышенными концентрациями Ві, Аѕ, Си (см. табл. 1).

В позднеюрское время под воздействием магматических флюидов карбонатсодержащие породы метаморфической толщи превратились в скарны в виде пластовых и линзовидных согласно залегающих тел. Отсутствие обломков метасоматитов в базальном горизонте шадаронской серии свидетельствует об их более позднем формировании относительно вышележащих отложений вулканитов.

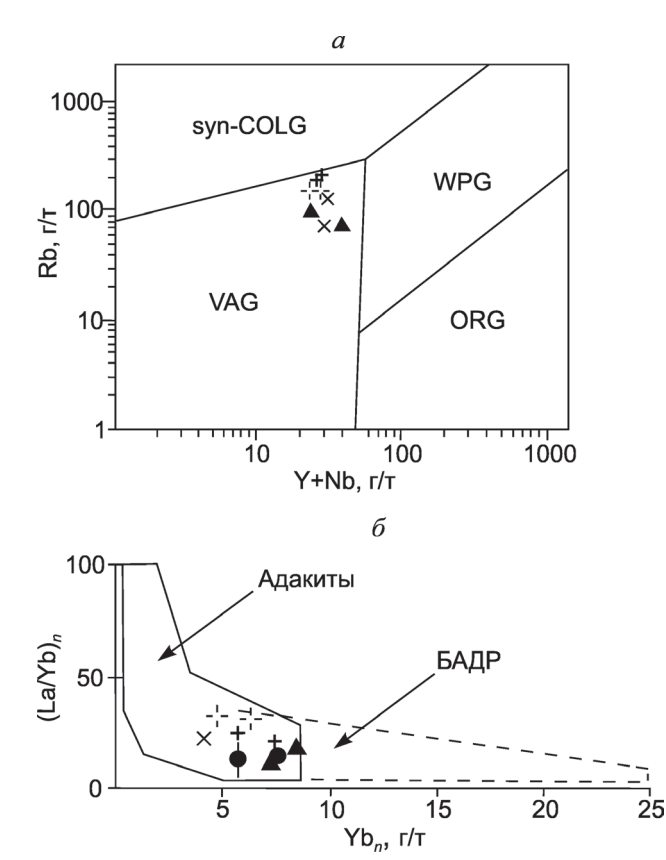
Северный участок. Во вмещающих гранитах ундинского комплекса развиты сульфидно-кварцевые жилы мощностью от 0,5 до 8 м северо-восточного простирания. Жилы сопровождаются зонами прожилково-вкрапленной минерализации мощностью до 20 м с широко проявленными процессами серицитизации, турмалинизации и карбонатизации пород. Содержание сульфидов в рудах достигает 10%. Рудные минералы — пирит, арсенопирит, реже отмечаются халькопирит, блеклая руда, сфалерит. Содержание Аи в рудах чаще всего не более 1,0 г/т, в единичных случаях 16,0 г/т.

Южный участок. Характеризуется развитием кварцевых жил широтного простирания с золото-висмутовым оруденением в порфировидных гранитах амуджикано-шахтаминского комплекса. Мощность их не превышает 0,6 м, протяжённость 100–500 м. Количество сульфидов в кварцевых жилах составляет 1–2%. Наиболее распространённые рудные минералы — арсенопирит, висмутин, тетрадимит, реже халькопирит, пирит. Содержание Аи невысокое, в редких случаях достигает 22,0 г/т.

Анализ локализиции золотого оруденения показал, что рудные тела Северного и Южного участков, представленные кварцево-сульфидными жилами, отличаются незначительными содержаниями Au (~1%). Основные запасы золота сосредоточены в рудных телах Восточного участка, представленных зонами прожилково-вкрапленного оруденения в скарнах. Среднее содержание Au 7,9 г/т. Широкое распространение арсенопирита и пирита во всех рудных участках косвенно указывает на образование их из единого рудоносного магматического очага.

Район Андрюшкинского месторождения расположен в шовной зоне Монголо-Охотской сутуры. Установлено, что источники расплавов средне-верхнеюрских магматических образований Восточного Забайкалья, возникших в процессе коллизии, находились как в коре, так и в мантии. Это объясняется тем, что при коллизионных процессах при надвигании Сибирского континента на Монголо-Китайский в среднелозднеюрское время была погребена океаническая рифтовая зона, продолжающаяся активность которой способствовала появлению мантийных источников расплавов [5].

Геохимические особенности интрузий амуджикано-шахтаминского комплекса и эффузивов шадаронской серии месторождения говорят об их соответствии породам вулканических дуг и адакитовым образованиям (табл. 2, рис. 2). Формирование адакитов связывается с процессами плавления мантией субдуцирующей океанической литосферы [6]. Геохимические особенности адакитов — отношение (La/Yb), не более 10, содержание Yb <1,8 г/т, Y <18,0 г/т, Sr >300 г/т — обусловлены наличием граната в рестите [6]. На диаграмме (La/Yb), — Yb, точки составов интрузий амуджикано-шахтаминского комплекса и эффузивов шадаронской серии компактно локализуются вдоль линии трендов



плавления гранатсодержащей мантии с содержаниями граната 5–10% и пород верхней коры (см. рис. 2, в) [10]. Формирование адакитов часто сопровождается промышленной минерализацией элементов халькофильного ряда [6]. В Забайкальском крае порфировые граниты амуджикано-шахтаминского комплекса, с которыми связано молибденовое оруденение Шахтаминского месторождения, соответствуют К-адакитам [8].

Распределение Rb и Sr в гранитах, гранитпорфирах, эксплозивных брекчиях амуджика-

Рис. 2. Квалификационные диаграммы для интрузивных и эффузивных образований Андрюшкинского месторождения:

a – дискриминационная диаграмма Rb – Y+Nb для разделения гранитоидов различных геодинамических обстановок (VAG – граниты вулканических дуг, ORG - граниты океанических хребтов, WPG - внутриплитные граниты, syn-COLG - коллизионные граниты); δ – дискриминационная диаграмма (La/Yb), – Yb_n, по [9] (БАДР – породы базальт-андезит-дацитриолитовых ассоциаций островных дуг и активных континентальных окраин); ε – диаграмма (La/Yb) $_{\sigma}$ – Yb, для интрузивных и эффузивных образований месторождения [10]; тренды плавления различных источников: I – кварцевые эклогиты, II – гранатовые амфиболиты, III – амфиболиты, IV, V, VI – гранатсодержащая мантия с содержанием граната соответственно 10, 5, 3%; ВМ – верхняя мантия; ВК – верхняя кора: тоналиты, плагиограниты, плагиогранитогнейсы; 1 эффузивы шадаронской серии; амуджикано-шахтаминский комплекс: 2 – граниты, 3 – гранит-порфиры (дайки), 4 — диоритовые порфириты (дайки), 5 — флюидно-эксплозивные брекчии

но-шахтаминского комплекса и эффузивах шадаронской серии указывает на образование их за счёт мантийного источника. При этом часть даек диоритовых порфиритов — результат процессов мантийно-корового взаимодействия (рис. 3).

Степень дифференциации магматических очагов интрузивных образований определялась по значению европиевой аномалии $Eu/Eu^*=Eu_N/[Sm_N\cdot Gd_N]^{1/2}$ (N — значения элементов нормированных по хондриту) [7]. Глубина формирования магматических очагов оценивалась по отношению Eu/Sm в трактовке $C.\Phi.$ Винокурова [3]. Выявлено, что значения Eu/Sm <0,2 характерны для магматических очагов верхней континентальной коры [3].

Как показал анализ распределения и соотношений редкоземельных элементов (РЗЭ), магматические очаги интрузий амуджикано-шахтаминского комплекса были в значительной степени дифференцированы (Eu/Eu* 0,11–0,14) и образованы на глубинах, отвечающих верхней континентальной коре (Eu/Sm 0,11–0,17). При этом породы данного комплекса кислого состава (граниты, гранит-порфиры) по сравнению с породами среднего (диоритовые порфи-

2. Содержание редких, рудных и редкоземельных элементов в породах Андрюшкинского месторождения, г/т

Элементы	Номера проб											
	443	443-2	445-6	491	491-1	489	489-1	498	504	504-1		
Zn	37	600	68	77	53	40	33	23	66	68		
As	12	52 000	-	23	41	110	100	12	490	50		
Pb	8	120 000	-	26	14	65	61	24	44	47		
Rb	98	-	74	8	50	190	200	140	170	160		
Sr	370	-	320	920	600	410	360	117	350	360		
Zr	180	70	250	155	156	280	280	110	260	290		
Nb	8	2	12	6	5,4	18	18	15	18	20		
Sn	-	49	4	4	3	4,4	8,1	1,7	10	6,9		
Sb	-	190	-	4,8	4,6	3,1	5,4	3,5	5,7	2,9		
Ва	500	400	400	233	845	660	580	680	650	640		
La	21,7	40,0	-	21,4	31,3	41,80	40,30	23,5	51,2	39,6		
Ce	52,4	82,0	-	48,6	69,0	103,0	95,60	50,0	109,0	90,5		
Pr	5,0	8,4	-	5,6	8,6	10,00	8,80	4,3	9,7	7,95		
Nd	18,4	28,3	-	24,3	34,6	37,00	31,50	16,1	32,0	26,8		
Sm	3,7	4,0	-	5,2	7,0	6,40	5,40	2,9	5,1	4,5		
Eu	0,59	0,82	-	1,3	1,57	0,81	0,64	0,49	0,58	0,51		
Gd	3,1	2,6	-	3,5	4,4	4,30	3,40	2,2	3,7	2,6		
Tb	0,49	0,40	-	-	0,65	0,52	0,47	0,40	0,43	0,42		
Dy	2,6	1,9	-	2,4	3,2	2,70	2,30	1,6	2,2	1,8		
Но	0,55	0,50	-	-	0,64	0,53	0,48	0,35	0,42	0,35		
Er	1,54	1,42	-	1,15	1,5	1,50	1,26	0,93	1,2	0,99		
Tm	0,23	0,25	-	-	-	0,18	0,17	0,13	0,18	0,12		
Yb	1,3	1,5	-	1,0	1,4	1,30	1,00	0,70	1,1	0,84		
Lu	0,24	0,25	-	0,15	0,19	0,18	0,15	0,13	0,17	0,14		
Υ	15,2	12,5	-	12,4	16,1	16,30	13,30	10,5	13,4	10,7		
∑P3Э	111,84	172,24	-	70,6	164,05	226,5	204,77	103,33	216,98	177,12		
(La/Yb) _n	11,57	18,51	-	14,85	15,52	22,33	27,97	23,28	32,30	32,90		
Eu/Eu*	0,13	0,18	-	0,22	0,20	0,34	0,43	0,14	0,10	0,12		
Eu/Sm	0,16	0,20	-	0,25	0,22	0,13	0,12	0,17	0,11	0,11		

Примечание. Граниты амуджикано-шахтаминского комплекса: 489, 489-1; диоритовые порфириты: 445-6, 498; эксплозивные брекчии: 443, 443-2; дайки гранит-порфиров: 504, 504-1; эффузивы шадаронской серии: 491, 491-1. $Eu/Eu^*=Eu_N/[Sm_N\cdot Gd_N]^{1/2}$; «-» — нет данных. Анализы выполнены в геологическом институте CO PAH (г. Улан-Удэ). Редкоземельные элементы определены ISP-AES методом (аналитики А.А.Цыренова, Т.И.Казанцева), элементный состав — РФА методом (аналитик Б.Ж.Жалсараев).

риты) отличаются большими концентрациями РЗЭ (Σ РЗЭ 177,1—226,5 г/т) и более значительными содержаниями легких РЗЭ (La/Yb), 32,3—22,3. В диоритовых порфиритах соответственно Σ РЗЭ 103,33 г/т, (La/Yb), 23,28 (см. табл. 2; рис. 4).

Распределение РЗЭ во флюидно-эксплозивных брекчиях свидетельствует о происхождении их из магматических очагов, имеющих разные степень дифференциации (Eu/Eu* 0,13–0,18) и глубину образования (Eu/Sm 0,16–0,20).

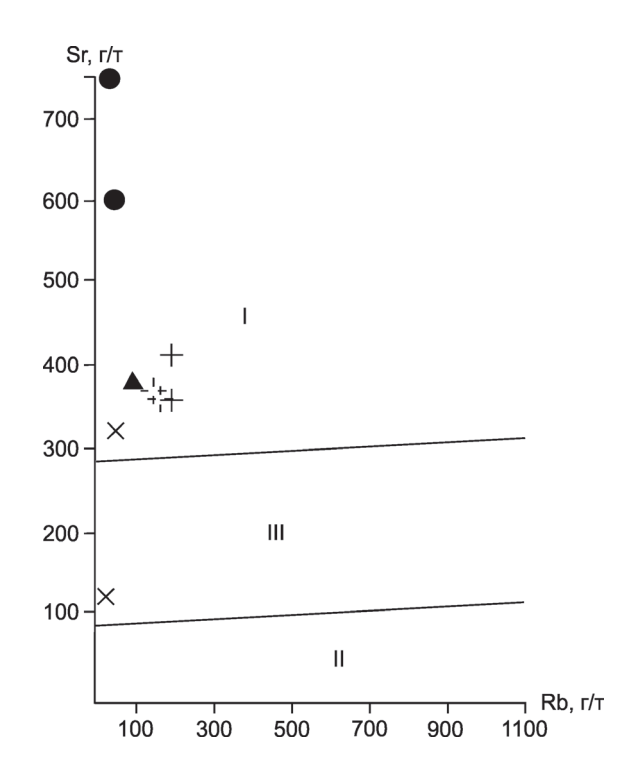


Рис. 3. Соотношения Rb и Sr в породах Андрюшкинского месторождения:

поля составов на диаграмме: I – мантийного, II – корового, III – смешанного мантийно-корового источников; остальные усл. обозн. см. рис. 2

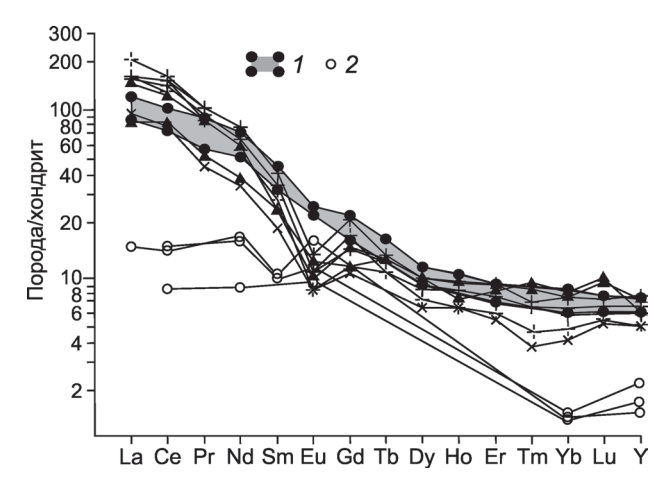


Рис. 4. Спайдер-диаграмма распределения редкоземельных элементов в породах Андрюшкинского месторождения:

1 — поля развития андезибазальтов шадаронской серии; 2 — рудоносные скарны; остальные усл. обозн. см. рис. 2

Таким образом, на основе вышеизложенного предполагается следующая последовательность процессов, приведших к формированию золотого оруденения:

- в ходе коллизионных и постколлизионных процессов по зонам глубинных нарушений мантийные флюиды взаимодействовали с коровым веществом. Магматический источник для интрузий амуджикано-шахтаминского комплекса, ФЭБ и эффузивов шадаронской серии был единый, соответствовал адакитам:
- в процессе мантийно-корового взаимодействия возникли магматические очаги, имеющие разные глубину и степень дифференциации. Происходило образование гранитоидов и пород гибридного состава диоритовых порфиритов, лампрофиров;
- по зонам глубинных нарушений изливались эффузивы шадаронской серии;
- на заключительных стадиях дифференциации магматических очагов интрузий амуджикано-шахтаминского комплекса формировались рудоносные флюиды, служившие источниками золотого оруденения. Они были насыщены газово-жидкими образованиями, находящимися под высоким давлением.
 При нарушении сплошности пород под воздействием высокого давления происходило образование ФЭБ. В этот же период формировались рудоносные кварцево-жильные зоны и зоны рудоносных скарнов.

СПИСОК ЛИТЕРАТУРЫ

- 1. Абрамов Б.Н. Гранитоиды мезозойских золоторудных месторождений Восточного Забайкалья: условия формирования, геохимические особенности // Руды и металлы. 2013. № 6. С. 48–54.
- 2. Абрамов Б.Н. Условия формирования и рудоносность флюидно-эксплозивных образований золоторудных месторождений Восточного Забайкалья // ДАН. 2011. Т. 440. № 1. С. 67–71.
- 3. *Винокуров С.Ф.* Европиевые аномалии в рудных месторождениях и их геохимическое значение // ДАН. 1996. Т. 346. С. 792–795.
- 4. *Генетические* аспекты формирования магнетитовых и ильменитовых гранитов (на примере Сихотэ-Алиня) / Г.А.Валуй, В.Г.Моисеенко, А.А.Стрижкова и др. // ДАН. 2005. Т. 405. № 4. С. 507–510.

- Геодинамика западной части Монголо-Охотского пояса и тектоническая позиция рудных проявлений золота в Забайкалье / Ю.А.Зорин, В.Г.Беличенко, И.Г.Рутштейн и др. // Геология и геофизика. 1998. Т. 39. № 11. С. 104–112.
- 6. *Ефремов С.В.* Раннепалеозойские адакиты Восточного Саяна, геохимические особенности и источники вещества // Геохимия. 2010. № 11. С. 1185—1201.
- 7. *Интерпретация* геохимических данных: Уч. пособие / Под ред. Е.В.Склярова. М.: Интермет Инжиниринг, 2001.
- 8. *Шахтаминская* Мо-порфировая рудно-магматическая система (Восточное Забайкалье): возраст,

- источники, генетические особенности / А.П.Берзина, А.Н.Берзина, В.О.Гимон и др. // Геология и геофизика. 2013. Т. 54. № 6. С. 764–786.
- 9. *Martin H.* Adakitic magmas: modern analogues of Archean granitoids // Lithos. 1999. Vol. 46. P. 411–429.
- 10. Petrogenesis of the largest intraplate volcanic field on the Arabian Plate (Jordan): A mixed lithosphere astenosphere source active by lithospheric extension / J.E.Shaw, J.A.Baker, M.A.Menzies et al. // J. Petrol. 2001. 44. (9). P. 1657–1679.

Абрамов Баир Намжилович, доктор геолого-минералогических наук b_abramov@mail.ru

ANDRYUSHKINSKOYE GOLD DEPOSIT: GEOCHEMICAL FEATURES OF ROCKS AND ORES, EASTERN TRANS-BAIKAL AREA

B.N.Abramov

The main gold mineralization of this deposit is hosted by skarns in veinlet-disseminated zones within Archean metamorphic strata. Magmatic chambers of these intrusions were largely differentiated (Eu/Eu* 0,11–0,14) and formed at depth corresponding to the upper continental crust (Eu/Sm 0,11–0,17). Quartz-tetradymite-bismuth association is productive for gold. The average Au grade in ores is 7,9 g/t. Intrusions of Amudzhikan-Shakhtamin complex, effusives of Shadaron series and gold mineralization were all generated from a single source similar to adacite magma. Key words: Amudzhikan-Shakhtamin complex, skarns, gold, adacites.

Журнал «Руды и металлы» приглашает к сотрудничеству представителей геологических, горно-геологических, горнодобывающих организаций и предприятий, отраслевых научно-исследовательских, академических и образовательных институтов

По вопросам размещения рекламы или издания целевого номера, посвящённого вашим предприятию, организации, её продукции и услугам обращаться по телефону 8 (495) 315-28-47 или электронной почте rudandmet@tsnigri.ru Реклама по заказам отраслевых организаций и высших учебных заведений выполняется по льготным расценкам